

Г. А. ВЕДЮШКИН, О. З. ГУСЕВ, Ю. Л. ДАНИЛЕВСКИЙ,
В. И. ЛИТВИНЧУК, Л. Н. СТЕРЕЛЮХИНА

(Новосибирск)

ИЗМЕРЕНИЕ ДИФФЕРЕНЦИАЛЬНОЙ МАГНИТНОЙ ВОСПРИИМЧИВОСТИ ФЕРРОМАГНИТНЫХ ПЛЕНОК*

Исследования показали [1, 2], что измерение дифференциальной магнитной восприимчивости ферромагнитных пленок дает возможность получить достаточно полную информацию об их свойствах. В данной работе предлагается простая методика измерения и анализа экспериментальных кривых дифференциальной магнитной восприимчивости при различных взаимных ориентациях внешних полей, съемного витка и оси анизотропии ферромагнитной пленки на основе специально разработанной установки.

Поле анизотропии H_k , определяющее процессы вращения вектора намагченности в ферромагнитных пленках, может быть получено из измерений дифференциальной магнитной восприимчивости. Обычно его определяют при низких частотах (порядка 1 кГц), когда исключаются различные динамические процессы в пленках. В этом случае реакция пленки на съемную катушку очень мала, и поэтому измерительные установки существенно усложняются: требуются усилители с большим коэффициентом усиления и съемные катушки с большим числом витков.

Независимость поля анизотропии от частоты дает возможность измерять H_k при особых условиях и на повышенных частотах, в частности при частоте метрового диапазона, методом дифференциальной магнитной восприимчивости. Последний обладает преимуществами: по сравнению с методом азимометра он гораздо проще, а по сравнению с методом петли гистерезиса позволяет измерять H_k при $H_k < H_c$ [3].

Рассмотрим случай, когда на ферромагнитную пленку действуют два поля: низкочастотное (перемагничивающее) поле H и высокочастотное (пробное) поле h , которые образуют с осью легкого намагничивания пленки L соответственно углы ψ и β в плоскости пленки (рис. 1).

Дифференциальная магнитная восприимчивость в направлении пробного поля h определяется

$$\chi = \frac{d I_n}{d h}, \quad (1)$$

где $d I_n$ — бесконечно малое приращение проекции I_n вектора \vec{I} , вызванное изменением пробного поля на величину dh , на направление этого поля.

Выражение для приведенной дифференциальной магнитной восприимчивости $\chi_{\text{пр}}$ одноименной ферромагнитной пленки для выбранной схемы действия полей дано в [1]

$$\chi_{\text{пр}} = \frac{\sin^2(\beta - \varphi_0)}{\cos 2\varphi_0 + h_1 \cos(\psi - \varphi_0)}. \quad (2)$$

Угол φ_0 определяется из условия равновесия вектора намагнченности:

$$\frac{1}{2} \sin 2\varphi + h_1 \sin(\psi - \varphi) = 0, \quad (3)$$

где $h_1 = \frac{H}{H_k}$.

Если пленку поместить в одновитковую съемную петлю, нормаль к которой совпадает с направлением пробного поля h , то напряжение, наводимое в петле, пропорционально изменению магнитного потока в пленке:

$$e = I \sin(\beta - \varphi) \frac{d\varphi}{dt}. \quad (4)$$

* Материал доложен на VI Всесоюзной конференции по автоматическому контролю и методам электрических измерений в сентябре 1964 г. в Новосибирске.

Проекция вектора намагниченности на направление нормали к плоскости петли равна

$$I_{\pi} = I \cos(\beta - \varphi). \quad (5)$$

Тогда

$$\frac{dI_{\pi}}{dt} = I \sin(\beta - \varphi) \frac{d\varphi}{dt}. \quad (6)$$

Выражение (6) можно представить в таком виде:

$$\frac{dI_{\pi}}{dh} \cdot \frac{dh}{dt} = I \sin(\beta - \varphi) \frac{d\varphi}{dt}. \quad (7)$$

Сравнив (7) и (1), (7) с (4) и (2) и принимая $h = h_0 \sin 2\pi f t$, где f — частота ВЧ- поля, а h_0 — амплитуда ВЧ- поля, получим

$$e = 2\pi f h_0 \cos 2\pi f \frac{dI_{\pi}}{dh} = A \frac{\sin^2(\beta - \varphi_0)}{\cos 2\varphi_0 + h_1 \cos(\psi - \varphi_0)}. \quad (8)$$

Таким образом, закон изменения напряжения (8) в съемной петле с точностью до постоянных коэффициентов повторяет закон изменения дифференциальной магнитной восприимчивости (2).

Вычисление коэффициента A из конструктивных данных установки позволяет измерить не только относительную, но и абсолютную величину дифференциальной магнитной восприимчивости.

Система уравнений (2) и (3) была решена на электронной вычислительной машине (ЭВМ) для ряда значений углов ψ при взаимно перпендикулярном расположении действующих полей.

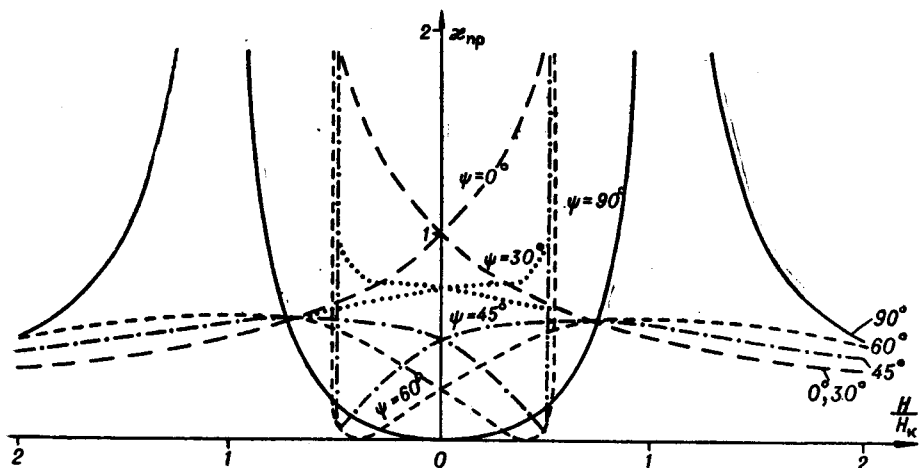


Рис. 2.

Из расчетных кривых видно (рис. 2), что $x_{\pi} \rightarrow \infty$ при $h = (\cos^{2/3} \psi + \sin^{2/3} \psi)^{3/2}$. Но в реальной пленке всегда существует пространственная неоднородность в распределении намагниченности, которая связана с разбросом осей анизотropии и доменной структуры. Эта неоднородность и константа затухания пленок определяют ограничение величины x_{π} при перемагничивании. В эксперименте x_{π} не превышает 10 для исследуемого типа пленок.

При физической интерпретации осциллограмм можно, в частности, измерять H_k и H_c , а также судить о процессах перемагничивания в магнитной пленке. Величина H_k соответствует половине расстояния между двумя максимумами x_{π} , отсчитанными по полю H при перемагничивании пленки по тяжелой оси, т. е. при $\psi = 90^\circ$ (рис. 3, а).

Величина коэрцитивной силы смещения H_c соответствует половине расстояния между двумя максимумами $x_{\text{пр}}$, отсчитанными по полю H при перемагничивании пленки по легкой оси, т. е. при $\psi=0^\circ$ (рис. 3, б). Для повышения точности отсчета H_k и H_c в случае пологих максимумов применяется дифференцирование сигнала.

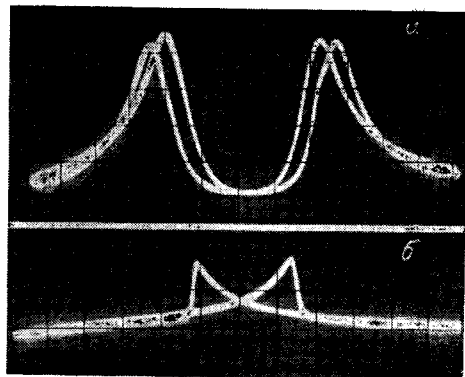


Рис. 3.

Точнее значение H_k можно определить по данным измерения $x_{\text{пр}}$, соответствующим нескольким значениям напряженности перемагничивающего поля, построив зависимость $1/x_{\text{пр}}$ от H .

Рассмотрим перемагничивание пленки по легкой оси, т. е. при $\psi=0$. Выражение (2) приводим к виду:

$$x_{\text{пр}1} = A \frac{H_k}{H_k - H_1},$$

где H_1 — значение поля, соответствующее выбранному значению $x_{\text{пр}}$ на осциллографме.

Для точки, взятой вблизи H_1 , справедливо соотношение

$$x_{\text{пр}2} = A \frac{H_k}{H_k - H_2}.$$

Найдем приращение $\Delta x_{\text{пр}}$ и выразим его через приращение поля ΔH :

$$\frac{\Delta x_{\text{пр}}}{x_{\text{пр}}} = \frac{\Delta H}{H_k - H_1},$$

откуда

$$H_k = H_1 - \frac{\Delta H}{\Delta x_{\text{пр}}} x_{\text{пр}1}.$$

Таким образом, точки ложатся на прямую, пересечение которой с горизонтальной осью H дает значение H_k . Сравнение теоретических кривых (см. рис. 2) с экспериментальными (см. рис. 3, а и б) говорит о довольно хорошем качественном их соответствии.

Метод дифференциальной магнитной восприимчивости позволяет определять не только H_k и H_c магнитных пленок, но и амплитудную и угловую дисперсии H_k , а также магнитные потери.

Информация, получаемая из кривых дифференциальной магнитной восприимчивости, особенно из-за анизотропности свойств ферромагнитных пленок, эффективно может быть использована только с помощью логической обработки на ЭВМ. Полная систематическая обработка данных на ЭВМ позволит вскрыть ряд закономерностей в очень сложной картине перемагничивания тонких ферромагнитных пленок и наладить разбраковку серийно получаемых образцов по их существенным параметрам.

Блок-схема установки для измерения дифференциальной магнитной восприимчивости ферромагнитных пленок приведена на рис. 4. Исследуемая магнитная пленка подвергается действию двух магнитных полей: перемагничивающего поля H (50 Гц), создаваемого кольцами Гельмгольца, и высокочастотного поля h ($60 \div 180$ МГц), созданного в полосковой линии. Полосковая линия питается от стандартных генераторов.

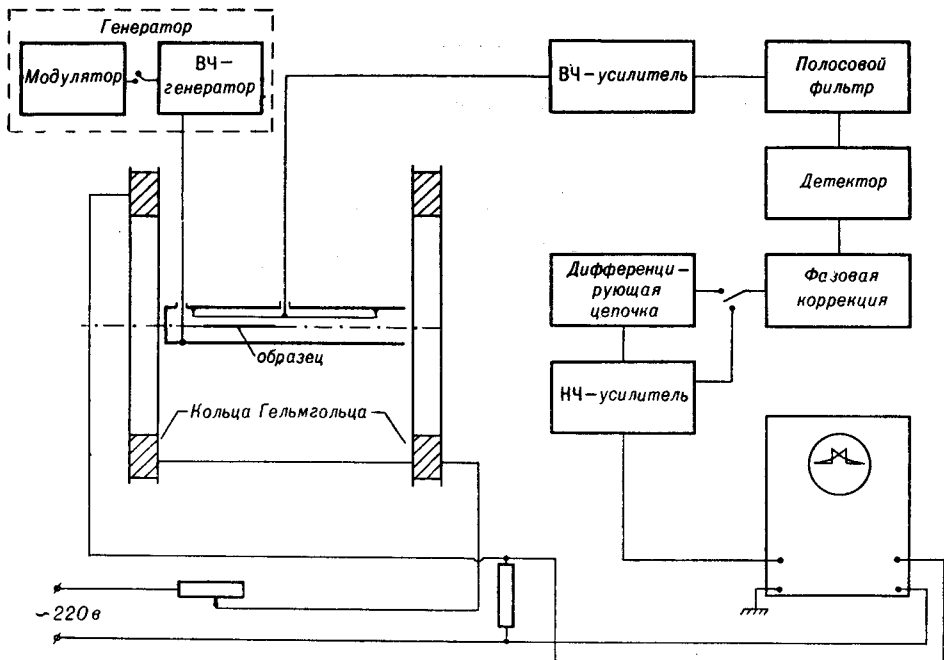


Рис. 4.

Для снятия сигнала с пленки используется высокочастотный мост. Уравновешивание балансного моста производится за счет механической прецизионной подгонки плеч. Сигнал разбаланса составляет не более 1% от максимального сигнала.

В результате взаимодействия магнитных полей с исследуемой пленкой на выходе балансной системы возникает несбалансированный сигнал, пропорциональный дифференциальной магнитной восприимчивости пленки. В схеме предусмотрена коррекция фазы как по каналу сигнала, так и по каналу развертки [4]. Снимаемый ВЧ-сигнал усиливается, фильтруется и детектируется практически без искажений. Выделенный продетектированный сигнал с выхода НЧ-усилителя поступает на вертикальный вход осциллографа. Горизонтальная развертка луча осциллографа пропорциональна напряженности перемагничивающего поля H .

Кольца Гельмгольца и трафарет для образца монтируются на вращающихся лимбах, что позволяет создавать различные комбинации направлений полей относительно оси анизотропии и относительно друг друга.

Используемая в установке оптическая приставка позволяет ориентировать образец с точностью до $\pm 15'$. Внешний вид основного блока установки представлен на рис. 5.

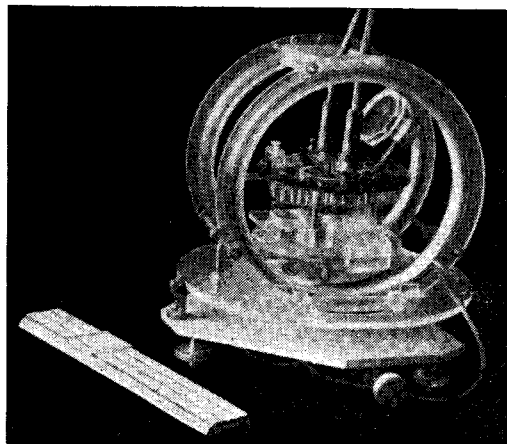


Рис. 5.

Применение ВЧ-поля позволяет уменьшить число каскадов усиления, ограничиться одной съемной петлей, а также дает возможность изучать поведение ферромагнитных пленок в этих полях. Чувствительность установки позволяет получать сигналы с пленок толщиной 0,05 мк при диаметре пятна 1 мм.

В заключение благодарим канд. техн. наук В. Л. Дятлова за постановку задачи и помочь в работе.

ЛИТЕРАТУРА

1. К. М. Поливанов, А. Л. Фрумкин. Дифференциальная восприимчивость тонких магнитных пленок при однородном вращении намагниченности.—Физика металлов и металловедение, 1962, т. 14, вып. 2.
2. А. Л. Фрумкин. Теоретические исследования магнитной проницаемости анизотропных тонких магнитных пленок.—Изв. АН СССР, серия физич., 1962, т. 26, № 2.
3. E. Feldtkeller. Anisotropy magnetude of thin magnetic films.—Physics Letters, 1963, v. 7, № 1.
4. Г. С. Векслер. Фазовые искажения в каналах B и H при осциллографировании гистерезисных петель ферромагнетиков.—Журнал технической физики, 1953, т. 23, вып. 5.
5. E. Feldtkeller. Suszeptibilitätsmessungen an anisotropen Nickeleisen—Schichten.—Zeitschrift für Physik, 1963, Bd. 176, № 4.

Поступила в редакцию
15 февраля 1965 г.